

# Nueva propuesta para detección de contacto entre poliedros a gran escala

Yerko Zec



**Universidad  
Andrés Bello®**  
Conectar • Innovar • Liderar

January 27, 2020

# Contenido

- 1 Motivación
- 2 Pregunta de investigación
- 3 Marco teórico
- 4 Objetivo
- 5 Metodología
- 6 Resultados
- 7 Conclusión
- 8 Referencias

# Motivación



Figure 1: Derrumbe de masa tierra

# Motivación

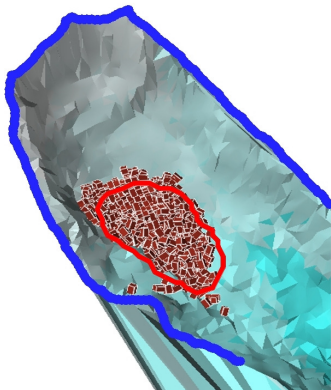


Figure 2: Detección de contacto

# Pregunta de investigación

¿Se podrá realizar?

Nueva propuesta para la detección de contacto entre cuerpos rígidos.

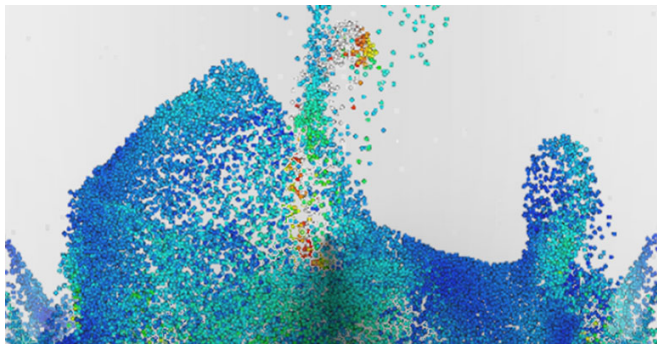


Figure 3: Discrete element method

# Common-Plane

- Common-Plane(CP), fue en primera instancia propuesto por Cundall.

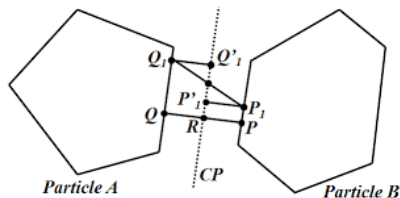
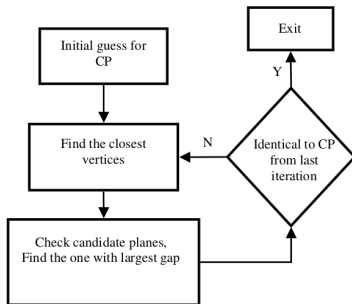


Figure 4: Common-plane

# Fast Common-Plane

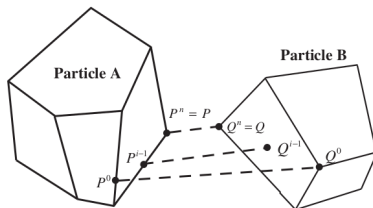
- En 2004 Nezami [1] propuso una nueva propuesta para el cálculo del CP y se llamó Fast Common-Plane (FCP).
- Con esta nueva propuesta mejoró el orden del algoritmo por ello la eficiencia.





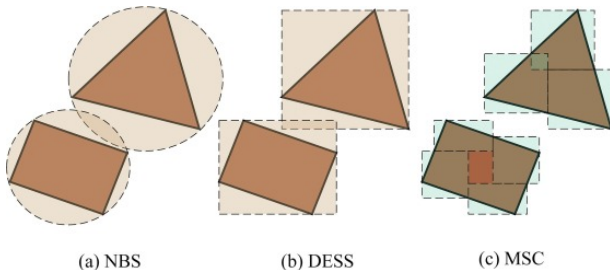
# Shortest Link Method

- Nezami en 2006 [2] propuso otro algoritmo ocupando como base FCP.
- En base a resultados expuestos por Nezami [2], el SLM es 17 veces más rápido que otros algoritmos convencionales.



# Multi-shell Contact Detection

- Fue desarrollado por Zhuang el 2014 [3].
- MSC como método tanto de detección de vecindario como detección de contacto es uno de los más eficiente, según concluye Zhuang.



# Objetivo

## Objetivo General

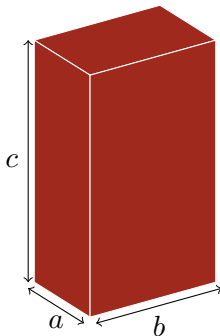
- Desarrollar una nueva propuesta que detecte colisiones entre poliedros.

## Objetivo Específico

- Desarrollar una representación geométrica para los cuerpos rígidos.
- Desarrollar un algoritmo de detección de contactos para vértices y aristas.
- Desarrollar un algoritmo de detección de contacto entre cuerpos rígidos de orden no mayor a  $\mathcal{O}(N)$ , donde  $N$  es la cantidad de cuerpos de la simulación.

## Herramientas

- El desarrollo de los algoritmos se utilizó python.
- Se llevó un control de versiones con la herramienta Github.



**Figure 5:** Un cuerpo representado por un poliedro con dimensiones  $a$ ,  $b$  y  $c$ .

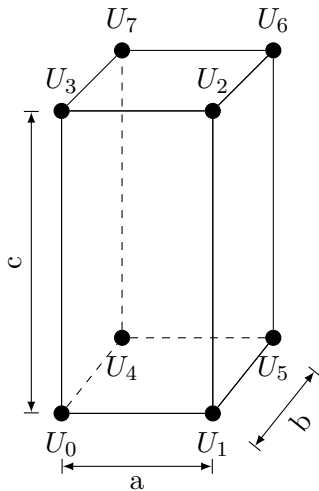


Figure 6: Un poliedro  $U$  que se utilizará como referencia para análisis

## Ecuaciones para un vértice

$$V_j^* := V_j - U_0, j = 0 : 7 \quad (1)$$

Llevar el vértice al nuevo plano de prueba

$$V_j^* = \begin{Bmatrix} V_{1j}^* \\ V_{2j}^* \\ V_{3j}^* \end{Bmatrix} = \begin{Bmatrix} \alpha_{1j} \\ \alpha_{2j} \\ \alpha_{3j} \end{Bmatrix} \quad (2)$$

Determinación de los  $\alpha$ 's.

$$V_j \in U \Leftrightarrow 0 \leq \alpha_{1j} \leq a \wedge 0 \leq \alpha_{2j} \leq b \wedge 0 \leq \alpha_{3j} \leq c \quad (3)$$

Determinar si el vector se encuentra dentro del poliedro.



Figure 7: Una arista con inicio en  $V_j$  y final en  $V_k$ , tomada de un poliedro  $V$ .



## Ecuaciones para una arista

$$r^*(s) = (1 - s)V_j^* + sV_k^*, 0 \leq s \leq 1. \quad (4)$$

Ecuación general que determina el segmento que se encuentra en contacto con el poliedro.

$$S = \frac{(\rho_i - V_{ji}^*)}{V_{ki}^* - V_{ji}^*}; i = 0 : 2 \quad (5)$$

Despejando la variable 'S' de la ecuación general se obtiene el segmento contenido en el poliedro.

## Ecuaciones para una arista

$$S = \begin{Bmatrix} S_{min0} & S_{max0} \\ S_{min1} & S_{max1} \\ S_{min2} & S_{max2} \end{Bmatrix} \quad (6)$$

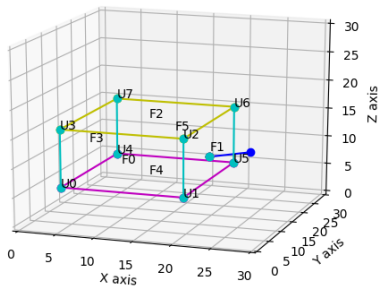
La intersección de estos tres intervalos es el segmento que esta en el poliedro.

## Ecuaciones para la intersección de una arista

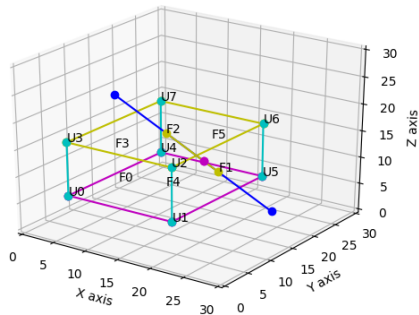
$$J := \{s \in [0, 1] | 0 \leq \rho_1(s) \leq a\} \cap \{0 \leq \rho_2(s) \leq b\} \cap \{0 \leq \rho_3(s) \leq c\} \quad (7)$$

Ecuación de intervalos que entrega la intersección

## Obtención de la cara por donde ingresa un vértice



## Obtención de las caras por donde ingresa una arista



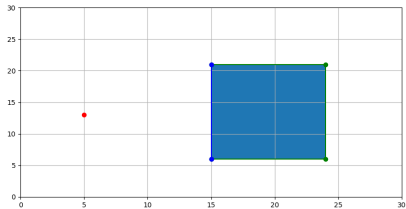
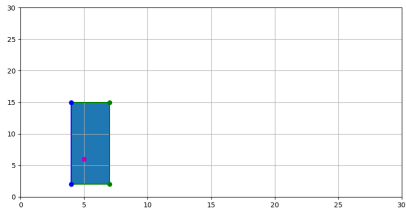
# Resultados

## Prueba 2-D

```
def pointdetection(U0, a, b, c, point):  
    B = getB()  
    V0 = point[0] - U0[0]  
    V1 = point[1] - U0[1]  
    V2 = point[2] - U0[2]  
  
    V = np.array([[V0], [V1], [V2]])  
  
    alpha = np.linalg.solve(B, V)  
  
    resultx, resulty, resultz = False, False, False  
  
    if (0 <= alpha[0] <= a):  
        resultx = True  
    if (0 <= alpha[1] <= b):  
        resulty = True  
    if (0 <= alpha[2] <= c):  
        resultz = True  
    return resultx and resulty and resultz
```

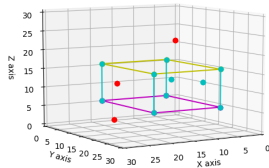
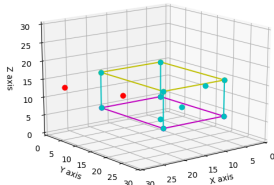
# Resultados

## Prueba 2-D



# Resultados

## Prueba 3-D





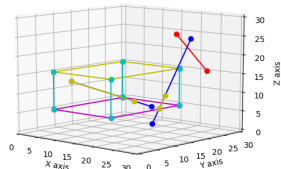
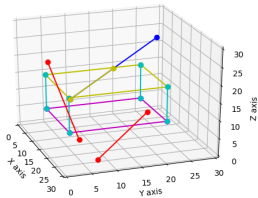
# Resultados

## Pruebas con más vértices al mismo tiempo

```
(venv) yerkozec@yerkozec-notebook:~/Desktop/pt/ContactDetection$ python3 testeopunto.py
usar datos random para generar figura y pruebas(True/False)?
True
cuantas pruebas?
100
tiempo de deteccion de punto: 0.012374401092529297
numero de puntos detectados dentro: 14
numero de puntos detectados fuera: 86
(venv) yerkozec@yerkozec-notebook:~/Desktop/pt/ContactDetection$ python3 testeopunto.py
usar datos random para generar figura y pruebas(True/False)?
True
cuantas pruebas?
1000
tiempo de deteccion de punto: 0.06482911109924316
numero de puntos detectados dentro: 113
numero de puntos detectados fuera: 887
(venv) yerkozec@yerkozec-notebook:~/Desktop/pt/ContactDetection$ python3 testeopunto.py
usar datos random para generar figura y pruebas(True/False)?
True
cuantas pruebas?
10000
tiempo de deteccion de punto: 0.34250688552856445
numero de puntos detectados dentro: 1255
numero de puntos detectados fuera: 8745
(venv) yerkozec@yerkozec-notebook:~/Desktop/pt/ContactDetection$ python3 testeopunto.py
usar datos random para generar figura y pruebas(True/False)?
True
cuantas pruebas?
50000
tiempo de deteccion de punto: 1.5083446502685547
numero de puntos detectados dentro: 6420
numero de puntos detectados fuera: 43580
```

# Resultados

## Prueba 3-D



# Resultados

## Pruebas con más aristas al mismo tiempo

```
(venv) yerkozec@yerkozec-notebook:~/Desktop/pt/ContactDetection$ python3 testeoarista.py
usar datos random para generar figura y pruebas(True/False)?
True
Cuántas pruebas?
100
tiempo de deteccion de arista: 0.03959774971008301
numero de aristas detectadas dentro: 47
numero de aristas detectadas fuera: 53
(venv) yerkozec@yerkozec-notebook:~/Desktop/pt/ContactDetection$ python3 testeoarista.py
usar datos random para generar figura y pruebas(True/False)?
True
Cuántas pruebas?
1000
tiempo de deteccion de arista: 0.14173412322998047
numero de aristas detectadas dentro: 532
numero de aristas detectadas fuera: 468
(venv) yerkozec@yerkozec-notebook:~/Desktop/pt/ContactDetection$ python3 testeoarista.py
usar datos random para generar figura y pruebas(True/False)?
True
Cuántas pruebas?
10000
tiempo de deteccion de arista: 1.1369974613189697
numero de aristas detectadas dentro: 5424
numero de aristas detectadas fuera: 4576
(venv) yerkozec@yerkozec-notebook:~/Desktop/pt/ContactDetection$ python3 testeoarista.py
usar datos random para generar figura y pruebas(True/False)?
True
Cuántas pruebas?
25000
tiempo de deteccion de arista: 2.7897703647613525
numero de aristas detectadas dentro: 13527
numero de aristas detectadas fuera: 11473
```

# Resultados

## Detección de cara para un vector

```
(venv) yerkozec@yerkozec-notebook:~/Desktop/pt/ContactDetection$ python3 testeopunto.py < ./pruebas/1.in
usar datos random para generar figura y pruebas(True/False)?
False
[[1, 0, 0], array([20., 14., 10.])]
```

# Resultados

## Detección de cara para una arista

```
(venv) yerkozec@yerkozec-notebook:~/Desktop/pt/ContactDetection$ python3 testeoarista.py < ./pruebas/2.in
usar datos random para generar figura y pruebas(True/False)?
False
Si entra por la cara: [0, -1, 0]
Sf entra por la cara: [0, 0, -1]
Las caras por la que cruza la arista: (f0, f4)
la arista que componen las caras e0
punto mas cercano: [17.    7.096 10.472]
```

# Conclusión

- Se logró representar un cuerpo rígido de manera geométrica.
- En esta fase del desarrollo de la propuesta se logró detectar si un vértice y una arista están en contacto con el poliedro.

## Trabajos futuros

- Simulación de contacto entre poliedros a gran escala.

# Referencias



Nezami G. Erfan.

A fast contact detection algorithm for 3-d discrete element method.

*Elsevier*, 31:575 – 587, 2004.



Nezami G. Erfan.

Shortest link method for contact detection in discrete element method.

*Wiley InterScience*, 30:783 – 801, 2006.



Zhuang Z.

A multi-shell cover algorithm for contact detection in the three dimensional discontinuous deformation analysis.

*Elsevier*, 72:136 – 149, 2014.

# Nueva propuesta para detección de contacto entre poliedros a gran escala

Yerko Zec



**Universidad  
Andrés Bello®**  
Conectar • Innovar • Liderar

January 27, 2020